

## 開水路の乱れ強さに関する二、三の測定結果の検討

日本大学工学部 ○(学生員)渡辺幹雄 (正員)長林久夫 (正員)木村喜代治

### 1.はじめに

従来、長方形直線水路における乱流は内管内流や開水路層流と相違し、二次流を発生することはよく知られている。本研究は長方形開水路における二次流評価へのアプローチとして、滑面水路と縦模付き水路における三軸方向乱れ強さを対象に二、三の測定を行い、乱れ強さが水路断面内でどのように変化するかを調べるとともに、両水路でどのように異なるかを比較検討するものである。なお、縦模付き水路は、ハンドポンプの送泥管につけられた螺旋状の溝が強制的に螺旋流を起させることに着目し、水路流下方向に連続した縦模を取り付けることで二次流がある程度抑制できるのではないかとの想定のもとに用いた。

### 2. 実験方法

水路座標は、水路流下方向に  $x$  軸、水路横手方向に  $y$  軸、水路底面に垂直上向きに  $z$  軸をとり、各方向変動流速を  $u$ ,  $v$ ,  $w$ 、また各方向乱れ強さは、各方向変動流速の 2乗平均根を考え、 $u'$ ,  $v'$ ,  $w'$ とする。使用水路は、水路幅 40cm、深さ 40cm の断面を有し、直線長 13m の循環式可傾斜水路である。滑面水路としては、前述水路の底面と側面をそれぞれ塩化ビニール板と平ガラス板で使用した。縦模付き水路は、横として 5mm × 5mm の直角二等辺三角形断面を有するアクリル製補強棒を滑面水路底面に側壁と平行に 33cm 間隔で計 10 本密着させて使用した。変動流速の測定は、水平型 X プローブと垂直型 X プローブを用い、各出力を後に換算して求めた。

### 3. 結果と考察

各軸方向の乱れ強さは、今本が水路中央で示した普遍関数表示を用いて表めし、各測線毎にまとめた。Fig. 1 は  $y = 15$  cm の測線での各方向乱れ強さの鉛直分布を表めていて Case A が滑面水路、Case B が縦模付き水路の結果を表している。図中直線 a は今本が水路中央での  $u'$  について示した結果で、直線 b, c はそれぞれ称津が示した  $v'$ ,  $w'$  の結果を仮りに今本の表示で表めしたものである。滑面水路では、水路中央部から、側壁より水深程度離れた測線までは、Fig. 1 Case A で示されるように水路中央での関係が保たれるようである。側壁近傍測線では、底面近くで平坦、水面近くでは増加傾向を示すようになる。また側壁に最も近い測線では、鉛直方向に一定となり、側壁の影響と考えられる。縦模付き水路では、今本、称津と同じ傾向を示すのは、水路中央測線だけ、他測線での鉛直分布は Fig. 1 の Case B に示すように、底面付近での変化は滑面水路に比べて少なく、底面付近のこの傾向は水路全幅についてみられるようである。水面近くでは、滑面水路での結果と同じような傾向を示している。これらは Fig. 2 に示すように、乱れエネルギーの鉛直分布にも表められているようである。なお、詳細は発表時に行う予定である。

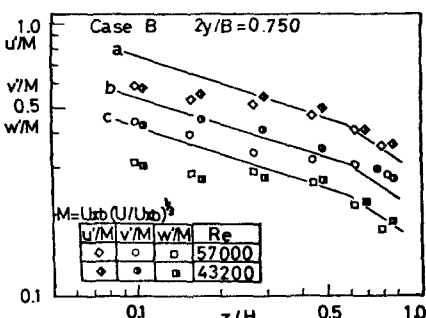
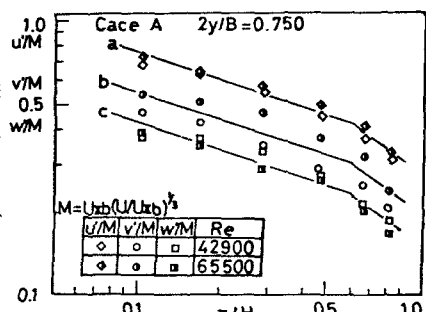


Fig. 1

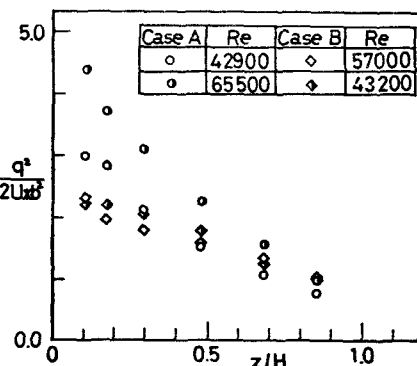


Fig. 2